



12021-84

( 4014-83)

3.

29

1984

4033

12021-84

Plastics and ebonite Method for determination of  
deflection under load temperature

( 4014—83)

12021—75

2209 , 2509

29

9984 . 4033

01.07.85

01.07.92

0,45      1,80

0,45

40 °

4014—83.

1.

1.1.

26277—84,

©

, 1985

1.2.

1,

,

1

	<i>t</i>	<i>b</i>	<i>h</i>
,	110—120	3,0—4,2	9,8—15,0
,	] 10—120	3,0—13,0	9,8—15,0

1.3.

^

1.4.

-

1.5.

-

**2.**

2.1.

, , (100±2)

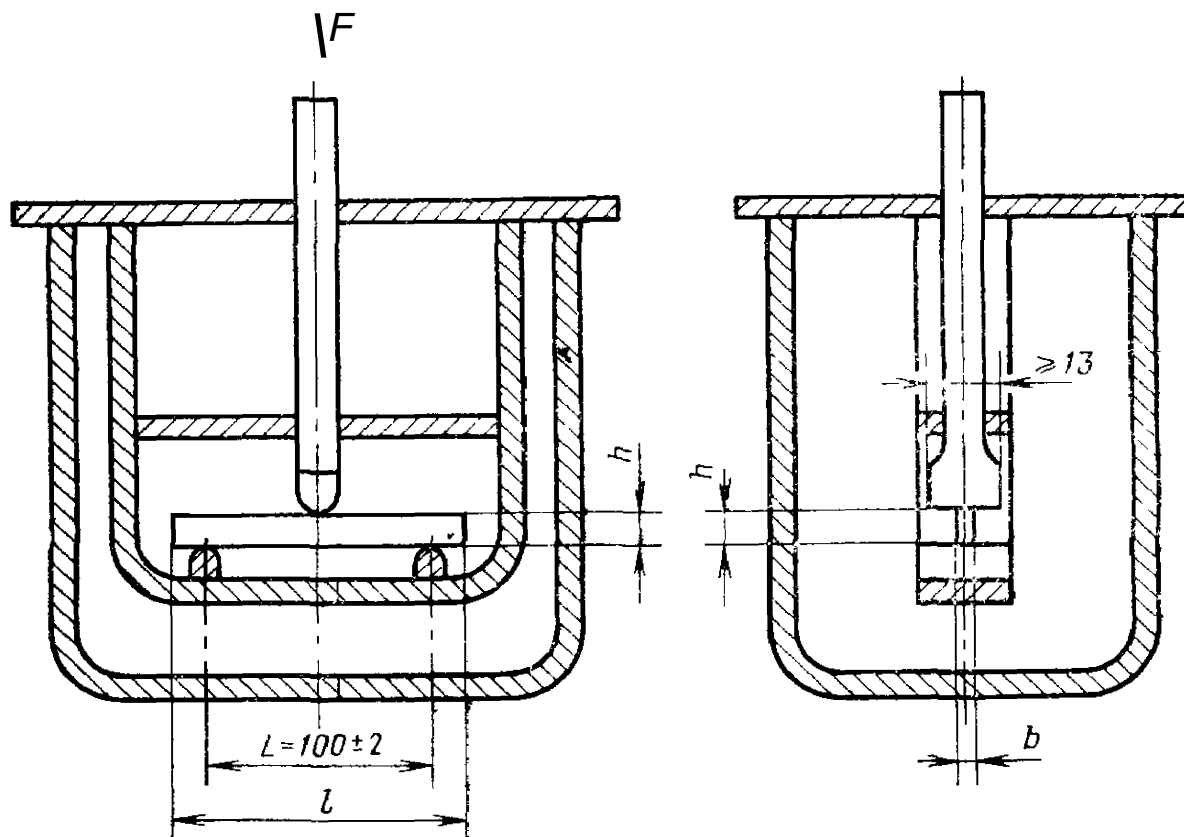
(3,0±0,2)

\*

), ( 0,01

2.2.

-



$(120 \pm 10)^\circ /$

5

2.3.

,

2.4.

$1^\circ$

2.5.

0,01

3.

3.1.

0,1

3.2.

(F)

$$\begin{matrix} \text{,,} \\ F \sim 3L \end{matrix} \quad 2a-b^*h^2$$

$h -$   
 $L -$

 $\pm 2,5\%$ .

3.3.

50

3.4.

 $(25 \pm 5)^\circ$ 

3.5.

12423—66 (      —      23      °      269—66,  
50 % ),

4.

4.1.

5

4.2.

2.

2

9,8      9,9 » 10,0 » 10,3 » 10,4 » 10,6 » 10,7 » 10,9 » 11,0 » 11,4 » 11,5 » 11,9 > 12,0 » 12,3	0,33 0,32 0,31 0,30 0,29 0,28 0,27

12,4    12,7 » 12,8 » 13,2 » 13,3 » 13,7 » 13,8 » 14,1 » 14,2 » 14,6 » 14,7 » 15,0	0,26 0,25 0,2(4 0,23 0,22 0,21

4.3.

(

),

, ,

5.

5.1.

,

,

,

2°

5°

5.2.

7\c ms ) ,80).

,

:

;

;

;

;

;

;

;

;

. 10.12 84 . . . . 06.02 85 0,5 . . 0,5 . . . . 0,37 . . , .  
. 12.000 . . 3 . .

« . . . . » . . . . , 123840, . . , .  
. . . . , 3. . . . , 256 . . 3881